

ИССЛЕДОВАНИЕ СТРУКТУРЫ ТРЕХМЕРНЫХ ТУРБУЛЕНТНЫХ СТРУЙ

А. АГУЛЫКОВ, К. Е. ДЖАУГАШТИН, Л. П. ЯРИН

(Ленинград)

Приведены результаты экспериментального исследования аэродинамики трехмерных турбулентных струй с естественным и искусственно повышенным уровнем турбулентности. На основе измерений средних и пульсационных величин выявлены характерные особенности развития струй, образующихся при истечении несжимаемой жидкости из сопл прямоугольной формы и крутых насадков с косым срезом. Результаты эксперимента обобщены на основе методов эквивалентной задачи теории теплопроводности и баланса пульсационной энергии.

1. В последние годы выполнен ряд экспериментальных исследований структуры турбулентных струй с выраженной пространственной анизотропией течения [1-7]. К их числу относятся трехмерные струи и следы, а также плоские течения с асимметричным распределением средней скорости. Как показывают измерения, закономерности распространения таких струй существенно отличаются от закономерностей развития двумерных (плоских и осесимметричных) струйных течений.

Для турбулентных струй с выраженной анизотропией течения характерна сложная перестройка поля средних и пульсационных величин, сопровождающаяся весьма своеобразным, присущим только данному классу движений изменением локальных и интегральных характеристик и ориентации осей изотоа в следе. Сложность и недостаточная изученность струйных течений такого типа затрудняет объяснение указанных выше эффектов и разработку рациональных методов расчета. Поэтому на первый план выдвигается задача экспериментального исследования структуры трехмерных струйных течений (включая подробное изучение поля пульсационных величин) с целью более полного описания картины явления и получения опорных данных для приближенного расчета.

В данной работе приведены результаты исследования аэродинамики трехмерных турбулентных струй, образующихся при истечении несжимаемой жидкости из осесимметричного насадка с косым срезом и сопла прямоугольной формы. Первый вид течения интересен как пример сложного пространственного движения с асимметричным распределением средней скорости, второй — как пример трехмерного течения, симметричного относительно двух взаимно перпендикулярных плоскостей, проходящих через ось струи.

2. Экспериментальная установка для изучения трехмерных струй выполнена в виде цилиндрической камеры ($\varnothing 123$ мм, $L=760$ мм), в проточной части которой расположен механический турбулизатор [8]. К торцу камеры с помощью профилированных переходников крепятся осесимметричные насадки с косым срезом или сопла прямоугольной формы. На фиг. 1 приведены схемы насадков и указана система координат. Установка снабжена электроподогревателем, обеспечивающим перегрев струи относительно окружающей среды на 30—40°.

Измерение скорости и температуры в струе проводилось с помощью

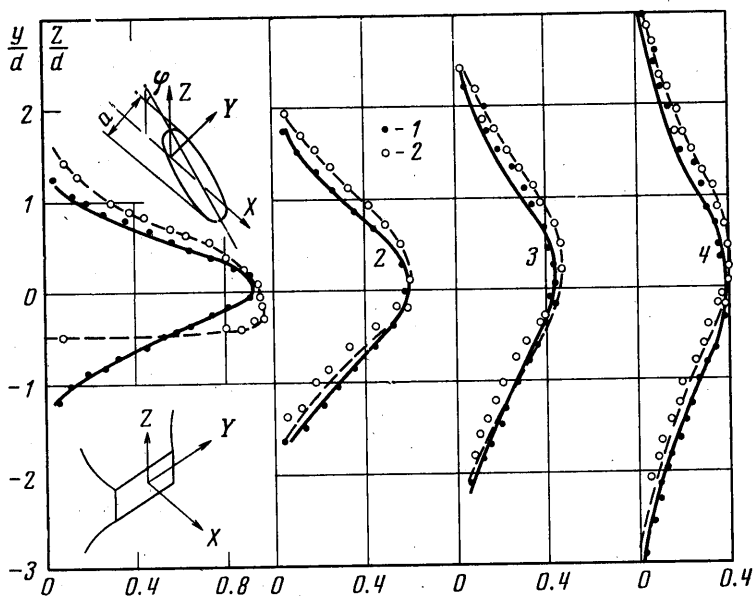
трубки Пито с диаметром приемного отверстия 0.5 мм и хромель-копелевой термопары с диаметром спая 0.3 мм. Для определения пульсационных величин использовался термоанемометр фирмы «Диза».

3. На фиг. 1 для одного значения угла скоса $\varphi=80^\circ$ представлены данные по распределению средней скорости в поперечных сечениях струи, истекающей из осесимметричного сопла с косым срезом. (Данные 1–4 соответствуют значениям $X/d=6.3; 10.7; 14; 16.$) Они показывают, что во всей области течения профили скорости в плоскости XU (точки 1) симметричны относительно оси, проходящей через центр сопла. Распределение скорости в плоскости XZ (точки 2) имеет значительно более сложный вид. Вблизи устья, в соответствии с предысторией потока — наличием в пределах сопла свободного и пристенного пограничного слоя, — профили скорости асимметричны. Координата, отвечающая максимуму U , смещена к той стороне сопла, на которой формируется пристенный пограничный слой. Это смещение зависит от угла скоса сопла и возрастает с увеличением последнего. При удалении от устья течения точка, отвечающая максимальному значению скорости, мигрирует в плоскости XZ , приближаясь вначале к оси, проходящей через центр насадка, а затем удаляясь от нее на некоторое расстояние. На значительном удалении от сопла распределение средней скорости в плоскости XZ практически симметрично относительно некоторой оси, параллельной геометрической оси насадка и смещенной относительно последней на некоторое расстояние.

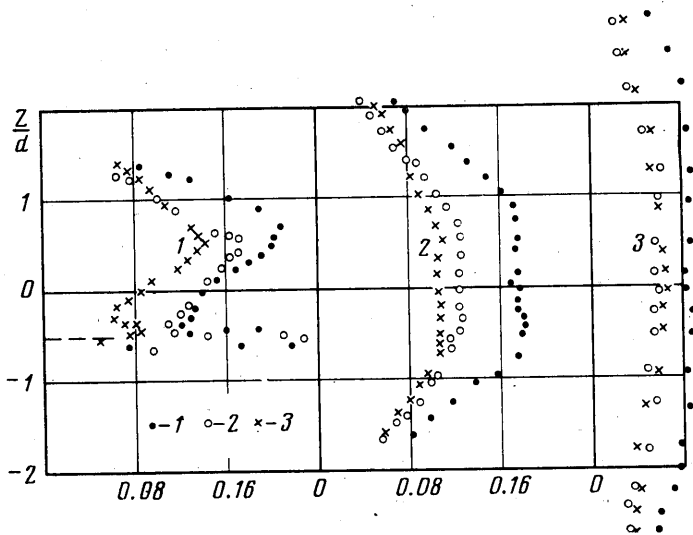
Более полное представление о структуре течения дают данные по распределению средней и пульсационной скорости, температуры, напряжения турбулентного трения и потока тепла. Они показывают, в частности, что в струе с асимметричным начальным распределением скорости происходит сложная перестройка поля течения, сопровождающаяся изменением соотношения между условными толщинами пограничных слоев в плоскостях XU и XZ и изменением ориентации осей изотак и изотерм. На значительном удалении от устья (различном для плоскостей XU и XZ) распределение средней скорости и температуры может быть представлено в виде универсальных зависимостей, описываемых известной формулой Шлихтинга [9]. Что касается распределения пульсационных величин, то оно оказывается существенно различным в плоскостях XU и XZ . В плоскости XU профили $\sqrt{\langle u^2 \rangle}/U_0$, $\sqrt{\langle V^2 \rangle}/U_0$ и $\sqrt{\langle w^2 \rangle}/U_0$ имеют типичный для струйных течений с осевой симметрией вид с выраженным провалом в окрестности оси и максимумом в области наибольшего градиента U . В плоскости XZ симметрия в распределении $\sqrt{\langle u^2 \rangle}/U_0$, $\sqrt{\langle V^2 \rangle}/U_0$ и $\sqrt{\langle w^2 \rangle}/U_0$ (фиг. 2, точки 1, 2, 3 соответственно) нарушается. Совокупностям точек 1–3 на фиг. 2 соответствуют значения $X/d=6; 10.6; 22$. Наибольшим значениям пульсационной скорости отвечает зона резкого изменения V , являющаяся продолжением пристенного пограничного слоя. В основном участке распределение пульсационной скорости приближается к симметричному. Наблюдается анизотропия течения: в обеих плоскостях продольная составляющая пульсационной скорости заметно превышает поперечную. Отметим также, что в окрестности точки, в которой турбулентное трение обращается в нуль, распределение интенсивности пульсаций всех трех компонент скорости, как видно из фиг. 2, приближается к изотропному (в сечении $X/d=6$).

На фиг. 3, 4 приведены результаты измерений напряжения трения и потока тепла (а также скорости и температуры) в основных плоскостях (в плоскости XU — на фиг. 3, в плоскости XZ — на фиг. 4). Точки 1–4 представляют соответственно значения следующих величин:

$$1 - 10^2 \langle uv \rangle / U_0^2; 10^2 \langle uw \rangle / U_0^2; 2 - U / U_0; 3 - 10^2 \langle vt \rangle / U_0 \Delta T_0; \\ 10^2 \langle wt \rangle / U_0 \Delta t; 4 - \Delta T / \Delta T_0.$$



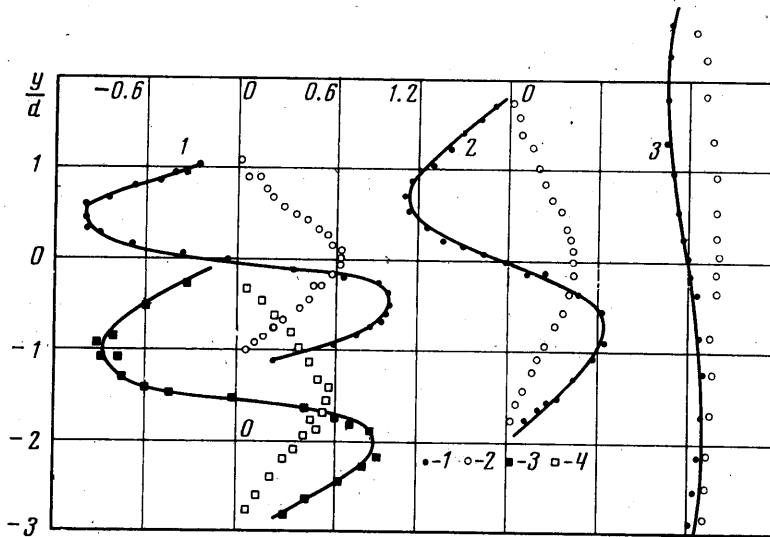
Фиг. 1



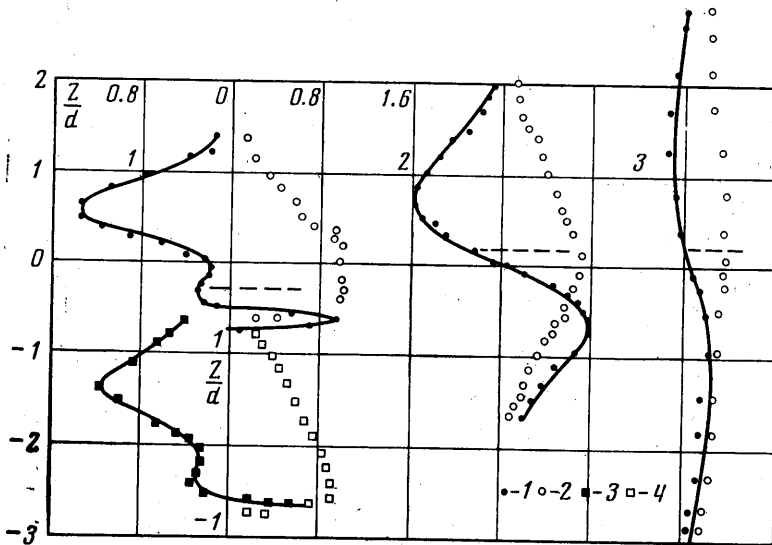
Фиг. 2

Видно (фиг. 3), что в струях с несимметричным распределением средней скорости не выполняется известное соотношение Прандтля, связывающее напряжение турбулентного трения (поток тепла) с градиентом средней скорости (температуры). Совокупности точек 1-3 на фиг. 3, 4 соответствуют значения $X/d=6; 10.6; 22$. Как видно из графика в струе, истекающей из насадка с косым срезом, координаты, отвечающие значению $\langle uw \rangle = 0$ и $\partial u / \partial z = 0$, заметно отличаются друг от друга. Это отличие оказывается тем больше, чем больше степень асимметрии потока.

Указанные особенности развития струйного движения с асимметричным распределением скорости сохраняются и при искусственной турбули-



Фиг. 3

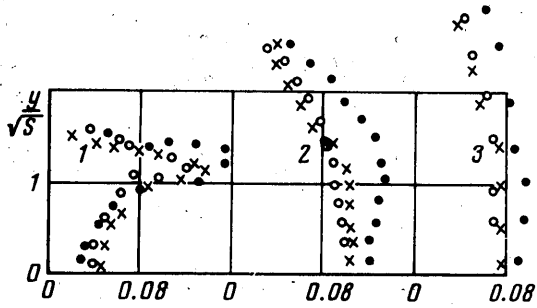


Фиг. 4

зации потока. Наложение с помощью механического турбулизатора низкочастотных пульсаций не приводит к изменению качественной картины распределения характерных величин, а способствует лишь более раннему вырождению начальных неоднородностей и переходу к течению с симметричным распределением скорости, температуры и т. д.

Опытные данные, относящиеся к распространению трехмерной струи, показывают, что интенсивность нарастания толщин пограничного слоя в плоскостях XU и XZ различна. Это, как и в предыдущем случае, приводит к изменению ориентации осей изотак по мере удаления от среза сопла. Что касается профилей U , то в каждой из диаметральных плоскостей они аналогичны профилям соответствующих величин в двумерных струйных течениях. Данные измерений пульсационных характеристик показывают, что уровень пульсаций на границе струи вдоль длинной

стороны щели (см. фиг. 5; обозначения те же, что и на фиг. 2, S — площадь сопла, совокупностям точек 1–3 соответствуют значения $X/\sqrt{S}=2.2; 13.4; 22$) в начальных сечениях несколько превышает величину пульсаций в плоскости XZ . Это связано с тем, что в этой области в порождение энергии вносит вклад градиент скорости вдоль обеих поперечных координат. С удалением от щели эти различия в значениях интенсивности пульсаций скорости исчезают.



Фиг. 5

4. Для приближенного расчета трехмерных струй использован метод эквивалентной задачи теории теплопроводности [7]. Хотя этот метод не отражает некоторых особенностей течения (в частности, поворота осей изотак), он может быть использован для оценки поля средней скорости и температуры.

Речь сводится к интегрированию системы уравнений и граничных условий

$$\frac{\partial F_i}{\partial \xi_i} = \frac{\partial^2 F_i}{\partial Y^2} + \frac{\partial^2 F_i}{\partial Z^2}$$

$$F_i = F_0(Y, Z), \xi_i = 0; F_i \rightarrow 0, Y \rightarrow \pm\infty, Z \rightarrow \pm\infty$$

где $F_i = \rho U^2$; $F_i = \rho U^* \Delta T$ — соответственно для динамической или тепловой задачи, U^* — средняя скорость, $F_0(YZ)$ — начальное распределение плотности потока импульса и избыточного теплосодержания, $\xi_i = \xi_u$; ξ_t — для динамической и тепловой задачи ($\xi_u/\xi_t = \sigma = \text{const}$ — аналог турбулентного числа Прандтля), $\xi_i = \xi_i(X)$ — некоторая функция продольной координаты, определяемая из сопоставления опытных и расчетных данных по изменению ρU^2 вдоль оси.

На фиг. 1 (сплошная линия — плоскость XY , пунктирная — плоскость XZ) приведено сопоставление результатов расчета и эксперимента для истекающих из кососрезанного сопла струй. Из графика видно, что расчет удовлетворительно согласуется с опытными данными.

5. Выполним приближенный расчет пульсационных характеристик трехмерных турбулентных струй и проведем сопоставление опытных и расчетных данных.

Исходной для анализа является система уравнений для одноточечных моментов второго порядка для поля скоростей и температуры, замкнутая на основе полуэмпирических гипотез А. Н. Колмогорова и Ротта и их аналогов для теплового поля [10–13]. Для развитого турбулентного течения с поперечным сдвигом при пренебрежении моментами третьего порядка она имеет вид

$$\frac{\partial}{\partial \tau} \langle u_i u_j \rangle + \langle u_k u_j \rangle \frac{\partial U_i}{\partial X_k} + \langle u_k u_i \rangle \frac{\partial U_j}{\partial X_k} +$$

$$+ K \frac{\sqrt{E}}{l} \left(\langle u_i u_j \rangle - \frac{2}{3} \delta_{ij} E \right) + \frac{2}{3} C \delta_{ij} \frac{E^{3/2}}{l} = 0$$

$$(5.1) \quad \frac{\partial}{\partial \tau} \langle u_i t \rangle + \langle u_{kt} \rangle \frac{\partial U_i}{\partial X_k} + \langle u_k u_i \rangle \frac{\partial T}{\partial X_k} + K_i \frac{\sqrt{E}}{l} \langle u_i t \rangle = 0$$

$$\frac{\partial}{\partial \tau} \frac{\langle t^2 \rangle}{2} + \langle u_k t \rangle \frac{\partial T}{\partial X_k} + C_t \frac{\langle t^2 \rangle \sqrt{E}}{l} = 0$$

$$E = \frac{1}{2} (\langle u^2 \rangle + \langle v^2 \rangle + \langle w^2 \rangle)$$

где K, C, K_i, C_i — эмпирические постоянные.

Рассмотрим течение потока несжимаемой жидкости в направлении оси X . Распределение скорости и температуры будем предполагать однородным по оси X и неоднородным в поперечных направлениях Y и Z ($U = (U(Y, Z); 0; 0)$, $T = T(Y, Z)$). Для установившегося течения из уравнений (5.1) получим следующую систему уравнений относительно моментов второго порядка:

$$\langle uv \rangle \frac{\partial U}{\partial Y} + \langle uw \rangle \frac{\partial U}{\partial Z} + \frac{k}{2} \frac{\sqrt{E}}{l} \left(\langle u^2 \rangle - \frac{2}{3} E \right) + \frac{C}{3} \frac{E^{3/2}}{l} = 0$$

$$\frac{K}{2} \frac{\sqrt{E}}{l} \left(\langle v^2 \rangle - \frac{2}{3} E \right) + \frac{C}{3} \frac{E^{3/2}}{l} = 0$$

$$\frac{K}{2} \frac{\sqrt{E}}{l} \left(\langle w^2 \rangle - \frac{2}{3} E \right) + \frac{C}{3} \frac{E^{3/2}}{l} = 0$$

$$\langle v^2 \rangle \frac{\partial U}{\partial Y} + \langle uw \rangle \frac{\partial U}{\partial Z} + K \frac{\sqrt{E}}{l} \langle uv \rangle = 0$$

$$\langle vw \rangle \frac{\partial U}{\partial Y} + \langle \tilde{w}^2 \rangle \frac{\partial U}{\partial Z} + K \frac{\sqrt{E}}{l} \langle uw \rangle = 0$$

$$(5.2) \quad -K \frac{\sqrt{E}}{l} \langle vw \rangle = 0$$

$$\langle tv \rangle \frac{\partial U}{\partial Y} + \langle tw \rangle \frac{\partial U}{\partial Z} + \langle uv \rangle \frac{\partial T}{\partial Y} + \langle uw \rangle \frac{\partial T}{\partial Z} + K_i \frac{\sqrt{E}}{l} \langle ut \rangle = 0$$

$$\langle v^2 \rangle \frac{\partial T}{\partial Y} + \langle vw \rangle \frac{\partial T}{\partial Z} - K_i \frac{\sqrt{E}}{l} \langle vt \rangle = 0$$

$$\langle vw \rangle \frac{\partial T}{\partial Y} + \langle w^2 \rangle \frac{\partial T}{\partial Z} + K_i \frac{\sqrt{E}}{l} \langle wt \rangle = 0$$

$$\langle tv \rangle \frac{\partial T}{\partial Y} + \langle tw \rangle \frac{\partial T}{\partial Z} + C_t \frac{\sqrt{E}}{l} \langle t^2 \rangle = 0$$

Эта система из 10 уравнений является алгебраической и служит для определения 10 моментов второго порядка $\langle u_i u_j \rangle$, $\langle t u_j \rangle$, $\langle t^2 \rangle$. Решение этой системы имеет следующий вид:

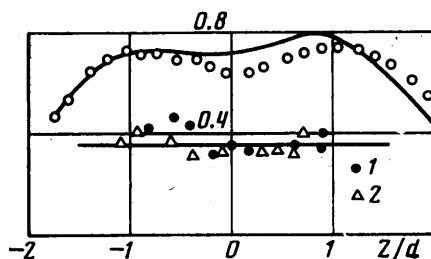
$$\begin{aligned}
 \langle u^2 \rangle &= \frac{2}{3} \frac{2+K/C}{\left[\frac{2}{3} \left(\frac{K}{C} - 1 \right) \right]^{1/2}} l^2 \left[\left(\frac{\partial U}{\partial Y} \right)^2 + \left(\frac{\partial U}{\partial Z} \right)^2 \right] \\
 \langle v^2 \rangle = \langle w^2 \rangle &= \frac{2}{3} \sqrt{\frac{2}{3} \left(\frac{K}{C} - 1 \right)} l^2 \left[\left(\frac{\partial U}{\partial Z} \right)^2 + \left(\frac{\partial U}{\partial Y} \right)^2 \right] \\
 \langle uv \rangle &= -l^2 \sqrt{\left(\frac{\partial U}{\partial Y} \right)^2 + \left(\frac{\partial U}{\partial Z} \right)^2} \frac{\partial U}{\partial Y} \\
 \langle uw \rangle &= -l^2 \sqrt{\left(\frac{\partial U}{\partial Y} \right)^2 + \left(\frac{\partial U}{\partial Z} \right)^2} \frac{\partial U}{\partial Z} \\
 \langle tv \rangle &= \frac{K}{K_t} l^2 \sqrt{\left(\frac{\partial U}{\partial Y} \right)^2 + \left(\frac{\partial U}{\partial Z} \right)^2} \frac{\partial T}{\partial Z} \\
 \langle t^2 \rangle &= \frac{C}{C_t} \frac{K}{K_t} \frac{K/C}{\left[\frac{2}{3} (K/C - 1) \right]^{1/2}} l^2 \left[\left(\frac{\partial T}{\partial Y} \right)^2 + \left(\frac{\partial T}{\partial Z} \right)^2 \right] \\
 \langle tu \rangle &= \frac{K}{K_t} \left(1 + \frac{K}{K_t} \right) \frac{1}{\left[\frac{2}{3} (K/C - 1) \right]^{1/2}} l^2 \left[\frac{\partial U}{\partial Y} \frac{\partial T}{\partial Y} + \frac{\partial U}{\partial Z} \frac{\partial T}{\partial Z} \right] \\
 \langle vw \rangle &= 0
 \end{aligned}
 \tag{5.3}$$

Следует отметить, что численный коэффициент в выражении для турбулентного трения был принят равным единице, поскольку масштаб l определен с точностью до постоянного множителя. Остальные соотношения записаны с учетом этого условия.

Для течения с поперечным сдвигом только в направлении оси Y ($\partial/\partial Z = 0$) выражения для турбулентного потока импульса и тепла (в 5.3) переходят в известные формулы Прандтля — $\langle uv \rangle = l^2 |\partial U/\partial Y| \cdot \partial U/\partial Y$, $-\langle tv \rangle = l^2 |\partial U/\partial Y| \partial T/\partial Y$, которые являются основой для полуэмпирического расчета двумерных течений. Остальные соотношения служат для приближенной оценки пульсационных характеристик. В общем виде (при наличии градиента скорости и температуры в двух поперечных направлениях) выражения (5.3) для моментов служат для расчета трехмерных течений. В частности, формулы для касательных напряжений трения и теплового потока являются обобщением формулы Прандтля для трехмерных течений, а выражения для моментов второго порядка пригодны для их приближенной оценки.

Для оценки моментов второго порядка следует задать значения эмпирических констант. Из соотношений (5.3) видно, что в расчетные формулы входят эмпирические константы K/C , K_t/K , C_t/C . Существенно, что все они могут быть оценены на основании опытов по измерению средних и пульсационных характеристик для двумерных течений. Расчеты показывают, что значение $K/C \approx 7$, турбулентное число Прандтля $\sigma_T = K_t/K \approx 0.75$. Меньше информации имеется для определения C_t/C , однако по некоторым оценкам эту величину можно считать порядка $C_t/C \approx 1$ [14].

Выполним приближенную оценку моментов второго порядка и произведем сопоставление их с опытными данными. Для этой цели требуются значения локальных градиентов средней скорости и температур, а также знание масштаба l . Первые из них могут быть вычислены по опытным



Фиг. 6

данным, однако масштаб турбулентности остается неопределенным. Поэтому в рамках развитой схемы расчета и при отсутствии сведений о масштабе возможны оценки в основном относительных значений моментов второго порядка.

Сравнение расчетных величин $\langle u^2 \rangle / \langle v^2 \rangle = 1.3$, $\langle v^2 \rangle / \langle w^2 \rangle = 1$ с соответствующими опытными данными для обеих исследованных струй-

ных течений (в сечении $X/d = 10.6$ и 22 и $X/\sqrt{S} = 22$) показывает, что различие между ними не превышает 10–15%. Значения $R_{us} = 0.4$, за исключением осевой и периферийной областей струи, также удовлетворительно согласуются с экспериментальными данными.

Расчет пульсационных характеристик температурного поля струи, истекающей из косо срезанного насадка, выполнен лишь вдоль оси Z ($Y = 0$). Это связано с тем, что вдоль этой линии значение $\partial T / \partial Y = 0$, что позволяет упростить расчетные формулы. В частности, используя это условие, а также исключая масштаб l с помощью выражения для $\langle u^2 \rangle$, получим следующее соотношение для расчета $\sqrt{\langle t^2 \rangle} / \Delta T_0$:

$$(5.4) \quad \sqrt{\langle t^2 \rangle} / \Delta T_0 = \sqrt{\frac{3}{2} \frac{C}{C_t} \frac{K}{K_t} \frac{K}{C} \left(2 + \frac{K}{C}\right)^{-1} \frac{\partial T}{\partial Z} / \frac{\partial U}{\partial Z}}$$

Распределение $\sqrt{\langle t^2 \rangle}$, вычисленное по формуле (5.4), не только качественно, но и количественно близко к экспериментальному при значении $x/\sqrt{S} = 2.5$ ($10\sqrt{\langle t^2 \rangle} / \Delta T_0$, верхний график на фиг. 6). То же самое имеет место и при сопоставлении коэффициентов корреляции температуры и скорости (нижний график на фиг. 6, точки 1 – R_{ut} , 2 – R_{wt} , линия – расчет). Кривые фиг. 6 соответствуют значению $-X/\sqrt{S} = 10.6$. Заметим, что аналогичные расчеты пульсационных характеристик струи, истекающей из косо срезанного сопла, также удовлетворительно согласуются с опытными данными.

Таким образом, полученные опытные данные достаточно полно характеризуют закономерности развития струйных течений с выраженной анизотропией. Наряду с самостоятельным значением они являются основой для разработки эффективных расчетных схем. Как и в других случаях, последовательное применение метода баланса пульсационной энергии позволяет в значительной мере отразить характерные особенности сложного явления.

Поступила 5 IX 1974

ЛИТЕРАТУРА

1. Sforza P. M., Steiger M. H., Trentacoste N. Studies on three-dimensional viscous jets, AIAA Journal, 1966, vol. 4, No. 5. (Рус. перев.: Исследование трехмерных вязких струй. Ракетная техника и космонавтика, 1966, т. 4, № 5.)
2. Trentacoste N., Sforza P. Further experimental results for three-dimensional free jets. AIAA Journal, 1967, vol. 5, No. 5. (Рус. перев.: Результаты дальнейшего экспериментального исследования трехмерных свободных струй. Ракетная техника и космонавтика, 1967, т. 5, № 5.)

3. Kuo Y., Baldwin L. V. Diffusion and decay of turbulent elliptic wakes. *AJAA Journal*, 1966, vol. 4, No. 9. (Рус. перев.: Диффузия и затухание турбулентных эллиптических следов. *Ракетная техника и космонавтика*, 1966, т. 4, № 9.)
4. Уханова Л. Н. Структура течения в трехмерных турбулентных следах. *Инж.-физ. ж.*, 1973, т. 25, № 5.
5. Hinze J. O. Turbulent flow regions with shear stress and mean velocity gradient of opposite sign. *Appl. Sci., Res.*, 1970, vol. 22, No. 3/4.
6. Eskinazi S., Erian F. F. Energy reversal in turbulent flows. *Phys. Fluids*, 1969, vol. 12, No. 10.
7. Вулис Л. А., Кашкаров В. П. Теория струй вязкой жидкости. М., «Наука», 1965.
8. Вулис Л. А., Михасенко Ю. И. Об интенсификации переноса тепла и вещества в свободной струе при помощи механического турбулизатора. *Изв. АН СССР. МЖГ*, 1968, № 1.
9. Абрамович Г. Н. Теория турбулентных струй. М., Физматгиз, 1960.
10. Roita J. Statistische Theorie nichthomogener Turbulenz. *Z. Physik*, 1951, Bd 129, Nr. 5.
11. Левин В. Б. К расчету основных характеристик турбулентных потоков с поперечным сдвигом. *Теплофизика высоких температур*, 1964, т. 2, № 4.
12. Джаугашгин К. Е. Турбулентные струи проводящей жидкости. 1, 2. *Магнитная гидродинамика*, 1970, № 2 и № 3.
13. Гнатюк В. В., Гнатюк Т. А., Джаугашгин К. Е. Струи проводящей жидкости в поперечном магнитном поле. *Магнитная гидродинамика*, 1973, № 2.
14. Хинце И. О. Турбулентность. М., Физматгиз, 1963.